

調査件名 SYSTEM21 最高級プロフェッショナル土質調査解析ソフト  
長年の実績で信頼と安定したソフトを実現

試験年月日 2021年 7月 20日

試料番号(深さ) S1-1(3.00m~3.70m) 新JIS入力見本

試験者 田中 誠二

試験機	試験機 No. 10			載荷段階	1	圧力 $P$ kN/m <sup>2</sup>	10.0	載荷段階	2	圧力 $P$ kN/m <sup>2</sup>	20.0			
	圧密リングNo. 1			試験日	10-25	室温	℃	20.5	試験日	10.26	室温	℃	21.0	
圧密リング質量 $m_R$ g			174.16			時刻	経過時間	変位計の読み $d$ mm	時刻	経過時間	変位計の読み $d$ mm			
供試体	試験前			11:00:00	0	0.930	11:00:00	0	1.120					
	高さ $H_0$ mm	20.0	11:00:06	6s	0.980	11:00:06	6s	1.129						
	直径 $D$ mm	60.0	11:00:09	9s	0.985	11:00:09	9s	1.130						
	供試体+リンクの質量 $m_T$	261.42	11:00:12	12s	0.989	11:00:12	12s	1.132						
	供試体質量 $m_0^D$ g	87.26	11:00:24	24s	1.000	11:00:24	24s	1.136						
	初期含水比 $w_0^D$ %	78.4	11:00:42	42s	1.013	11:00:42	42s	1.140						
	炉乾燥後			11:01:00	1	1.023	11:01:00	1	1.144					
	容器 No.	615	11:01:30	1.5 <del>1.5</del>	1.034	11:01:30	1.5 <del>1.5</del>	1.148						
	供試体+容器質量 g	67.24	11:02:00	2 <del>1.5</del>	1.041	11:02:00	2 <del>1.5</del>	1.151						
	容器質量 g	18.33	11:03:00	3 <del>2</del>	1.051	11:03:00	3 <del>2</del>	1.156						
供試体質量 $m_s$ g	48.91	11:04:30	4.5 <del>3</del>	1.062	11:05:00	5 <del>3</del>	1.162							
初期含水比 (削りくずによる)			11:07:00	7 <del>5</del>	1.073	11:07:00	7 <del>5</del>	1.167						
容器No.	1	2	3	11:10:00	10 <del>7</del>	1.082	11:10:00	10 <del>7</del>	1.172					
$m_a$ g	215.2	214.6	218.5	11:15:00	15 <del>10</del>	1.090	11:15:00	15 <del>10</del>	1.177					
$m_b$ g	157.9	157.8	157.9	11:20:00	20 <del>15</del>	1.095	11:20:00	20 <del>15</del>	1.181					
$m_c$ g	32.1	35.1	33.1	11:30:00	30 <del>20</del>	1.100	11:31:00	31 <del>20</del>	1.186					
$w$ %	45.5	46.3	48.6	11:40:00	40 <del>30</del>	1.104	11:40:00	40 <del>30</del>	1.188					
平均値 $w$ %	46.8			12:00:00	1h <del>40</del>	1.109	12:00:00	1h <del>40</del>	1.192					
特記事項	1) $m_0 = m_T - m_R$			12:30:00	1.5h <del>1h</del>	1.113	12:30:00	1.5h <del>1h</del>	1.196					
	2) $w_0 = \frac{m_0 - m_s}{m_s} \times 100$			13:00:00	2h <del>1.5</del>	1.115	13:00:00	2h <del>1.5</del>	1.198					
	植物の混入はない。硬質な試料に対しては、精度の高い変位計を使用し、圧密度90%の時間の精度を上げる。			14:00:00	3h <del>2</del>	1.116	14:00:00	3h <del>2</del>	1.201					
	[1kN/m <sup>2</sup> ≒ 0.0102kgf/cm <sup>2</sup> ]			17:00:00	6h <del>3</del>	1.119	17:00:00	6h <del>3</del>	1.206					
				10:50:00	1430 <del>12</del>	1.120	09:20:00	1340 <del>12</del>	1.214					
				<del>24</del>			<del>24</del>							
載荷段階	3	圧力 $P$ kN/m <sup>2</sup>	40.0	載荷段階	4	圧力 $P$ kN/m <sup>2</sup>	80.0	載荷段階	5	圧力 $P$ kN/m <sup>2</sup>	160.0			
試験日	10.27	室温	℃	21.0	試験日	10.28	室温	℃	20.5	試験日	10.29	室温	℃	20.0
時刻	経過時間	変位計の読み $d$ mm	時刻	経過時間	変位計の読み $d$ mm	時刻	経過時間	変位計の読み $d$ mm						
11:00:00	0	1.214	11:00:00	0	1.619	11:00:00	0	2.671						
11:00:06	6s	1.247	11:00:06	6s	1.648	11:00:06	6s	2.709						
11:00:09	9s	1.251	11:00:09	9s	1.653	11:00:09	9s							
11:00:12	12s	1.254	11:00:12	12s	1.658	11:00:12	12s	2.748						
11:00:24	24s	1.267	11:00:24	24s	1.683	11:00:24	24s	2.767						
11:00:42	42s	1.280	11:00:42	42s	1.703	11:00:42	42s	2.804						
11:01:00	1	1.291	11:01:00	1	1.721	11:01:00	1	2.823						
11:01:30	1.5 <del>1.5</del>	1.308	11:01:30	1.5 <del>1.5</del>	1.746	11:01:30	1.5 <del>1.5</del>	2.862						
11:02:00	2 <del>1.5</del>	1.319	11:02:00	2 <del>1.5</del>	1.763	11:02:00	2 <del>1.5</del>	2.899						
11:03:00	3 <del>2</del>	1.341	11:03:00	3 <del>2</del>	1.800	11:03:00	3 <del>2</del>	2.955						
11:05:00	5 <del>3</del>	1.371	11:05:00	5 <del>3</del>	1.856	11:05:00	5 <del>3</del>	3.037						
11:07:00	7 <del>5</del>	1.393	11:07:00	7 <del>5</del>	1.898	11:07:00	7 <del>5</del>	3.112						
11:10:00	10 <del>7</del>	1.417	11:10:00	10 <del>7</del>	1.949	11:10:00	10 <del>7</del>	3.199						
11:15:00	15 <del>10</del>	1.442	11:15:00	15 <del>10</del>	2.014	11:16:00	16 <del>10</del>	3.338						
11:20:00	20 <del>15</del>	1.455	11:20:00	20 <del>15</del>	2.063	11:20:00	20 <del>15</del>	3.421						
11:30:00	30 <del>20</del>	1.477	11:30:00	30 <del>20</del>	2.137	11:28:00	28 <del>20</del>	3.541						
11:40:00	40 <del>30</del>	1.488	11:40:00	40 <del>30</del>	2.178	11:40:00	40 <del>30</del>	3.661						
12:00:00	1h <del>40</del>	1.505	12:00:00	1h <del>40</del>	2.258	12:00:00	1h <del>40</del>	3.786						
12:30:00	1.5h <del>1h</del>	1.519	12:30:00	1.5h <del>1h</del>	2.329	12:30:00	1.5h <del>1h</del>	3.884						
13:00:00	2h <del>1.5</del>	1.527	13:00:00	2h <del>1.5</del>	2.377	13:00:00	2h <del>1.5</del>	3.947						
14:00:00	3h <del>2</del>	1.544	14:00:00	3h <del>2</del>	2.438	14:00:00	3h <del>2</del>	4.023						
17:00:00	6h <del>3</del>		17:30:00	6.5h <del>3</del>	2.548	17:00:00	6h <del>3</del>	4.136						
	<del>6</del>		20:00:00	9h <del>6</del>	2.589		<del>6</del>							
14:20:00	1640 <del>12</del>	1.619	08:20:00	1280 <del>12</del>	2.671	10:10:00	1390 <del>12</del>	4.269						
	<del>24</del>			<del>24</del>			<del>24</del>							

土の段階载荷による圧密試験 (圧密量測定)

調査件名 SYSTEM21 最高級プロフェッショナル土質調査解析ソフト  
長年の実績で信頼と安定したソフトを実現

試験年月日 2021年 7月 20日

試料番号(深さ) S1-1(3.00m~3.70m) 新JIS入力見本

試験者 田中 誠二

载荷段階	6	圧力 $P$ kN/m <sup>2</sup>	320.0	载荷段階	7	圧力 $P$ kN/m <sup>2</sup>	640.0	载荷段階	8	圧力 $P$ kN/m <sup>2</sup>	1280.0
試験日	10.30	室温 °C	21.0	試験日	10.31	室温 °C	22.0	試験日	11.1	室温 °C	20.5
時刻	経過時間	変位計の読み $d$ mm	時刻	経過時間	変位計の読み $d$ mm	時刻	経過時間	変位計の読み $d$ mm			
11:00:00	0	4.269	11:00:00	0	5.664	11:00:00	0	6.941			
11:00:06	6s	4.316	11:00:06	6s	5.723	11:00:06	6s	7.030			
11:00:09	9s	4.334	11:00:09	9s	5.735	11:00:09	9s	7.043			
11:00:12	12s	4.343	11:00:12	12s	5.746	11:00:12	12s	7.057			
11:00:24	24s	4.376	11:00:24	24s	5.781	11:00:24	24s	7.095			
11:00:42	42s	4.418	11:00:42	42s	5.823	11:00:42	42s	7.136			
11:01:00	1	4.450	11:01:00	1	5.855	11:01:00	1	7.170			
11:01:30	1.5 <del>1m15</del>	4.483	11:01:30	1.5 <del>1m15</del>	5.894	11:01:30	1.5 <del>1m15</del>	7.217			
11:02:00	2 <del>1.5</del>	4.517	11:02:00	2 <del>1.5</del>	5.927	11:02:00	2 <del>1.5</del>	7.257			
11:03:00	3 <del>2</del>	4.583	11:03:00	3 <del>2</del>	5.987	11:03:00	3 <del>2</del>	7.319			
11:05:00	5 <del>3</del>	4.666	11:05:00	5 <del>3</del>	6.078	11:05:00	5 <del>3</del>	7.416			
11:07:00	7 <del>5</del>	4.749	11:07:00	7 <del>5</del>	6.153	11:07:00	7 <del>5</del>	7.487			
11:10:00	10 <del>7</del>	4.831	11:10:00	10 <del>7</del>	6.254	11:10:00	10 <del>7</del>	7.563			
11:17:00	17 <del>10</del>	4.990	11:15:00	15 <del>10</del>	6.371	11:15:00	15 <del>10</del>	7.651			
11:20:00	20 <del>15</del>	5.037	11:20:00	20 <del>15</del>	6.439	11:20:00	20 <del>15</del>	7.705			
11:30:00	30 <del>20</del>	5.149	11:30:00	30 <del>20</del>	6.530	11:30:00	30 <del>20</del>	7.776			
11:40:00	40 <del>30</del>	5.218	11:40:00	40 <del>30</del>	6.586	11:40:00	40 <del>30</del>	7.820			
12:00:00	1h <del>40</del>	5.306	12:00:00	1h <del>40</del>	6.649	12:00:00	1h <del>40</del>	7.870			
12:30:00	1.5h <del>1h</del>	5.375	12:30:00	1.5h <del>1h</del>	6.704	12:30:00	1.5h <del>1h</del>	7.911			
13:00:00	2h <del>1.5</del>	5.417	13:00:00	2h <del>1.5</del>	6.738	13:00:00	2h <del>1.5</del>	7.942			
14:00:00	3h <del>2</del>	5.472	14:20:00	200 <del>2</del>	6.793	14:00:00	3h <del>2</del>	7.982			
15:40:00	280 <del>3</del>	5.524	19:00:00	480 <del>3</del>	6.871	18:00:00	7h <del>3</del>	8.052			
17:40:00	400 <del>6</del>	5.563	23:00:00	720 <del>6</del>	6.902		<del>6</del>				
11:30:00	1470 <del>1.2</del>	5.664	10:50:00	1430 <del>1.2</del>	6.941	11:30:00	1470 <del>1.2</del>	8.127			
	<del>2.4</del>			<del>2.4</del>			<del>2.4</del>				
载荷段階	9	圧力 $P$ kN/m <sup>2</sup>	10.0	载荷段階		圧力 $P$ kN/m <sup>2</sup>		载荷段階		圧力 $P$ kN/m <sup>2</sup>	
試験日	11.2	室温 °C	22.0	試験日		室温 °C		試験日		室温 °C	
時刻	経過時間	変位計の読み $d$ mm	時刻	経過時間	変位計の読み $d$ mm	時刻	経過時間	変位計の読み $d$ mm			
11:00:00	0	8.127		0			0				
11:00:06	6s										
11:00:09	9s										
11:00:15	15s										
11:00:30	30s	7.895									
11:00:42	42s	7.862									
11:01:00	1	7.831									
11:01:30	1.5 <del>1m15</del>	7.786		1min			1min				
11:02:00	2 <del>1.5</del>	7.750		1.5			1.5				
11:03:00	3 <del>2</del>	7.692		2			2				
11:05:00	5 <del>3</del>	7.608		3			3				
11:07:00	7 <del>5</del>	7.548		5			5				
11:10:00	10 <del>7</del>	7.477		7			7				
11:15:00	15 <del>10</del>	7.389		10			10				
11:20:00	20 <del>15</del>	7.322		15			15				
11:30:00	30 <del>20</del>	7.223		20			20				
11:40:00	40 <del>30</del>	7.161		30			30				
12:05:00	65 <del>40</del>	7.052		40			40				
12:40:00	100 <del>1h</del>	6.981		1h			1h				
13:20:00	140 <del>1.5</del>	6.911		1.5			1.5				
14:40:00	220 <del>2</del>	6.844		2			2				
17:00:00	6h <del>3</del>	6.785		3			3				
	<del>6</del>			6			6				
11:00:00	1440 <del>1.2</del>	6.675		12			12				
	<del>2.4</del>			24			24				

調査件名 SYSTEM21 最高級プロフェッショナル土質調査解析ソフト  
長年の実績で信頼と安定したソフトを実現

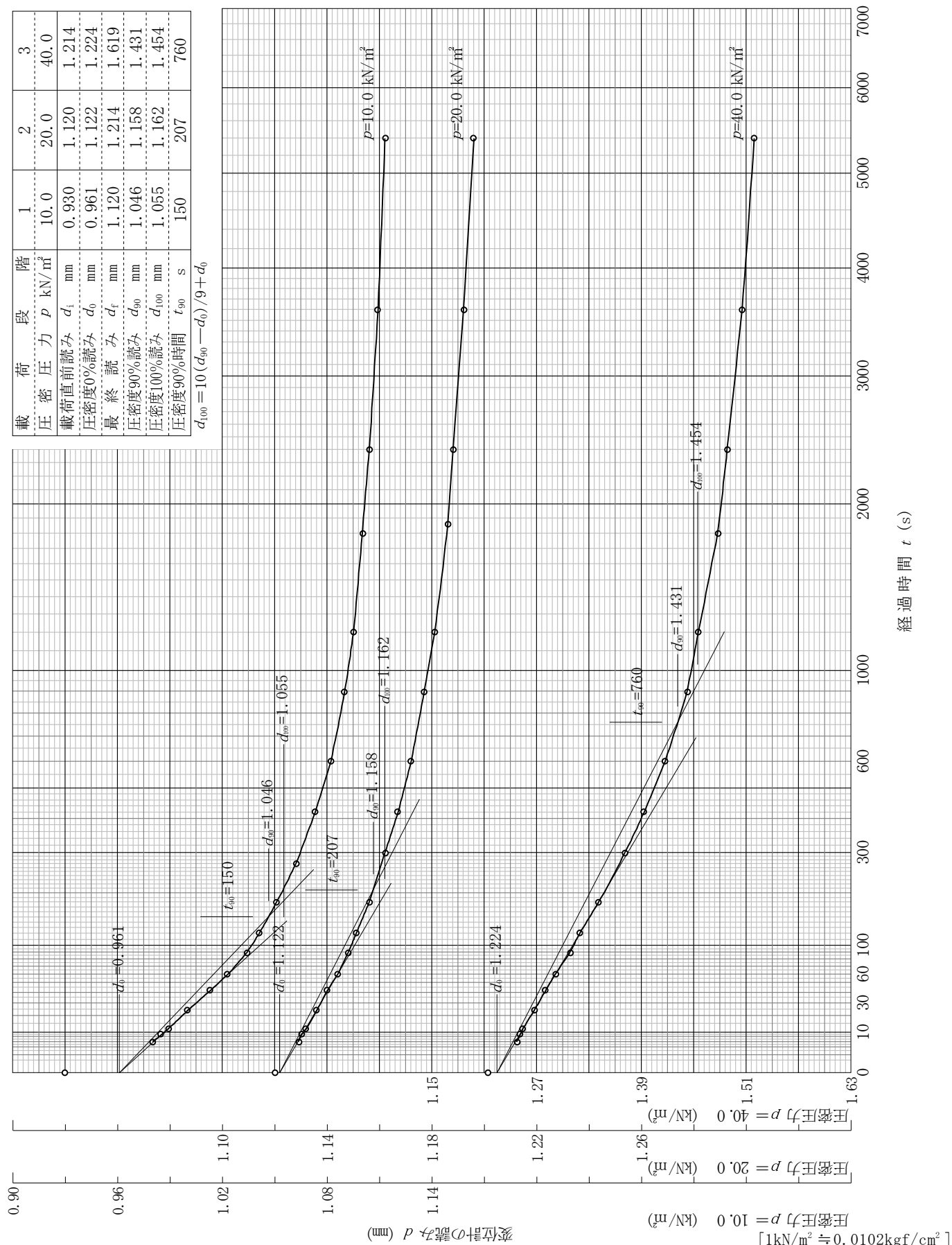
試験年月日 2021年 7月 20日

試料番号(深さ) S1-1(3.00m~3.70m) 新JIS入力見本

試験者 田中 誠二

載荷段階	1	2	3
圧密圧力 $p$ (kN/m <sup>2</sup> )	10.0	20.0	40.0
載荷直前読み $d_i$ (mm)	0.930	1.120	1.214
圧密度0%読み $d_0$ (mm)	0.961	1.122	1.224
最終読み $d_f$ (mm)	1.120	1.214	1.619
圧密度90%読み $d_{90}$ (mm)	1.046	1.158	1.431
圧密度100%読み $d_{100}$ (mm)	1.055	1.162	1.454
圧密度90%時間 $t_{90}$ (s)	150	207	760

$$d_{100} = 10(d_{90} - d_i) / 9 + d_0$$

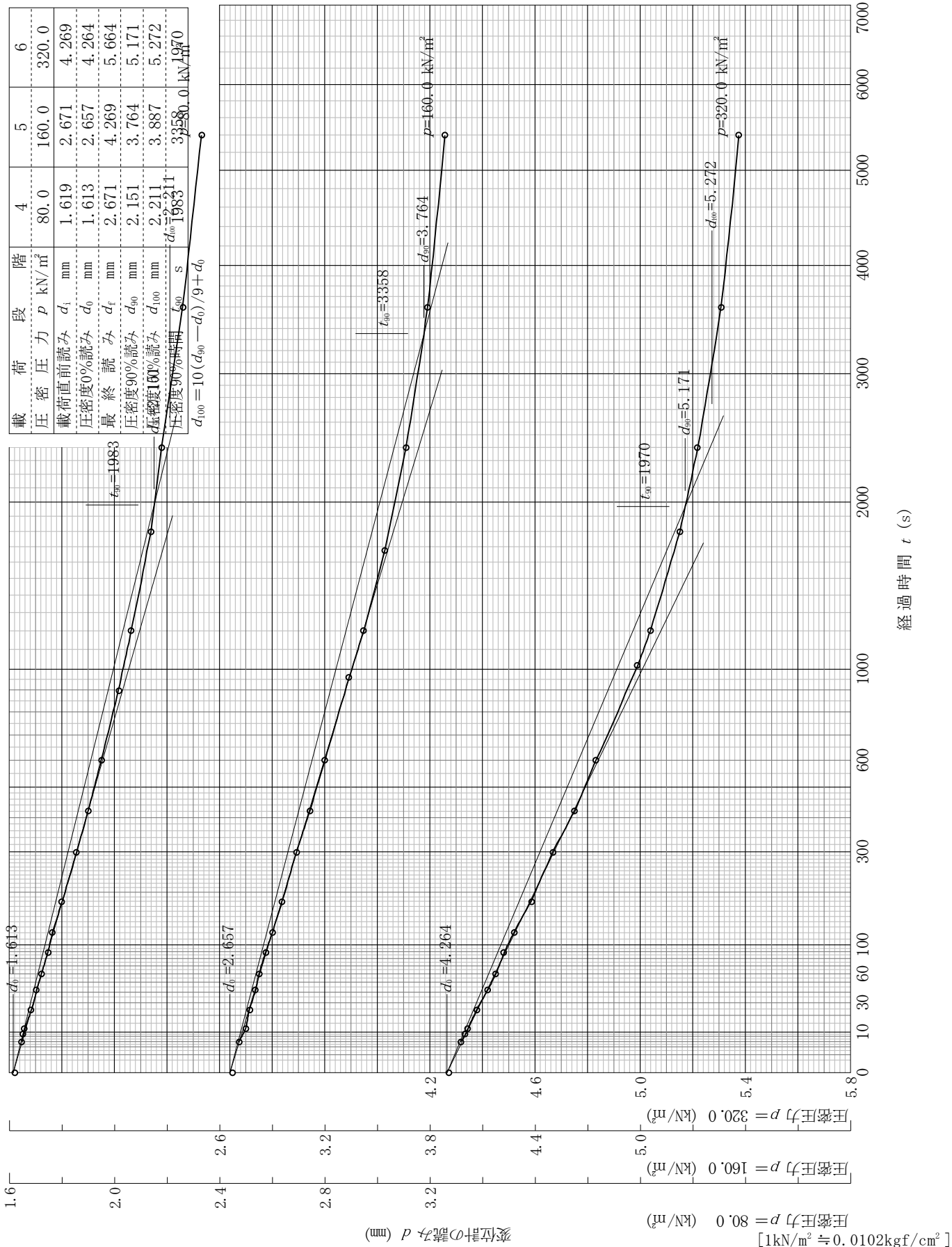


調査件名 SYSTEM21 最高級プロフェッショナル土質調査解析ソフト  
長年の実績で信頼と安定したソフトを実現

試験年月日 2021年 7月 20日

試料番号(深さ) S1-1(3.00m~3.70m) 新JIS入力見本

試験者 田中 誠二



調査件名 SYSTEM21 最高級プロフェッショナル土質調査解析ソフト  
長年の実績で信頼と安定したソフトを実現

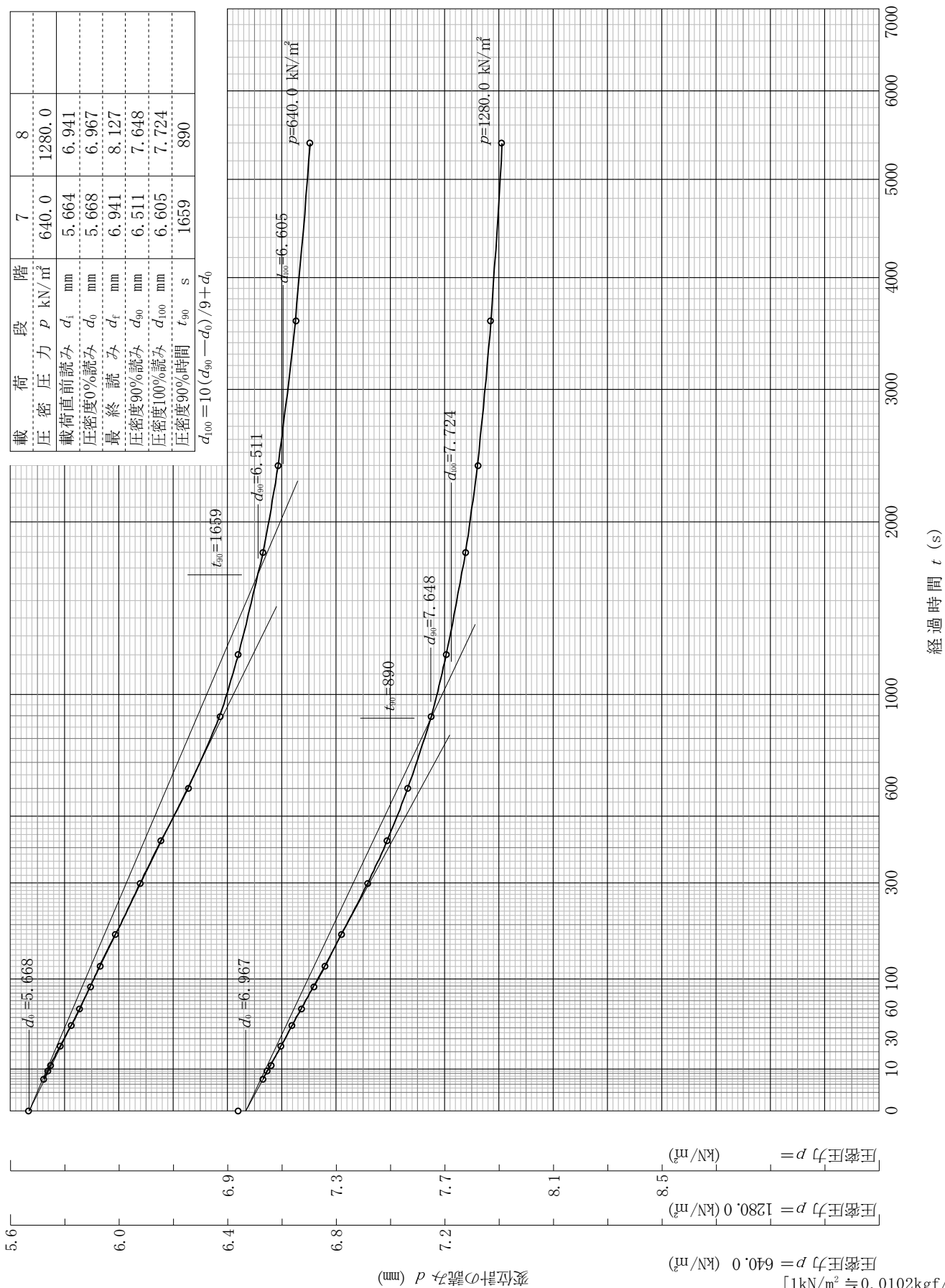
試験年月日 2021年 7月 20日

試料番号(深さ) S1-1(3.00m~3.70m) 新JIS入力見本

試験者 田中 誠二

載荷段階	7	8
圧密圧力 $p$ (kN/m <sup>2</sup> )	640.0	1280.0
載荷直前読み $d_i$ (mm)	5.664	6.941
圧密度0%読み $d_0$ (mm)	5.668	6.967
最終読み $d_f$ (mm)	6.941	8.127
圧密度90%読み $d_{90}$ (mm)	6.511	7.648
圧密度100%読み $d_{100}$ (mm)	6.605	7.724
圧密度90%時間 $t_{90}$ (s)	1659	890

$$d_{100} = 10(d_{90} - d_i) / 9 + d_0$$



変位計の読み  $d$  (mm)

圧密圧力  $p = 640.0$  (kN/m<sup>2</sup>)

圧密圧力  $p = 1280.0$  (kN/m<sup>2</sup>)

圧密圧力  $p =$  (kN/m<sup>2</sup>)

[1kN/m<sup>2</sup> ≒ 0.0102kgf/cm<sup>2</sup>]

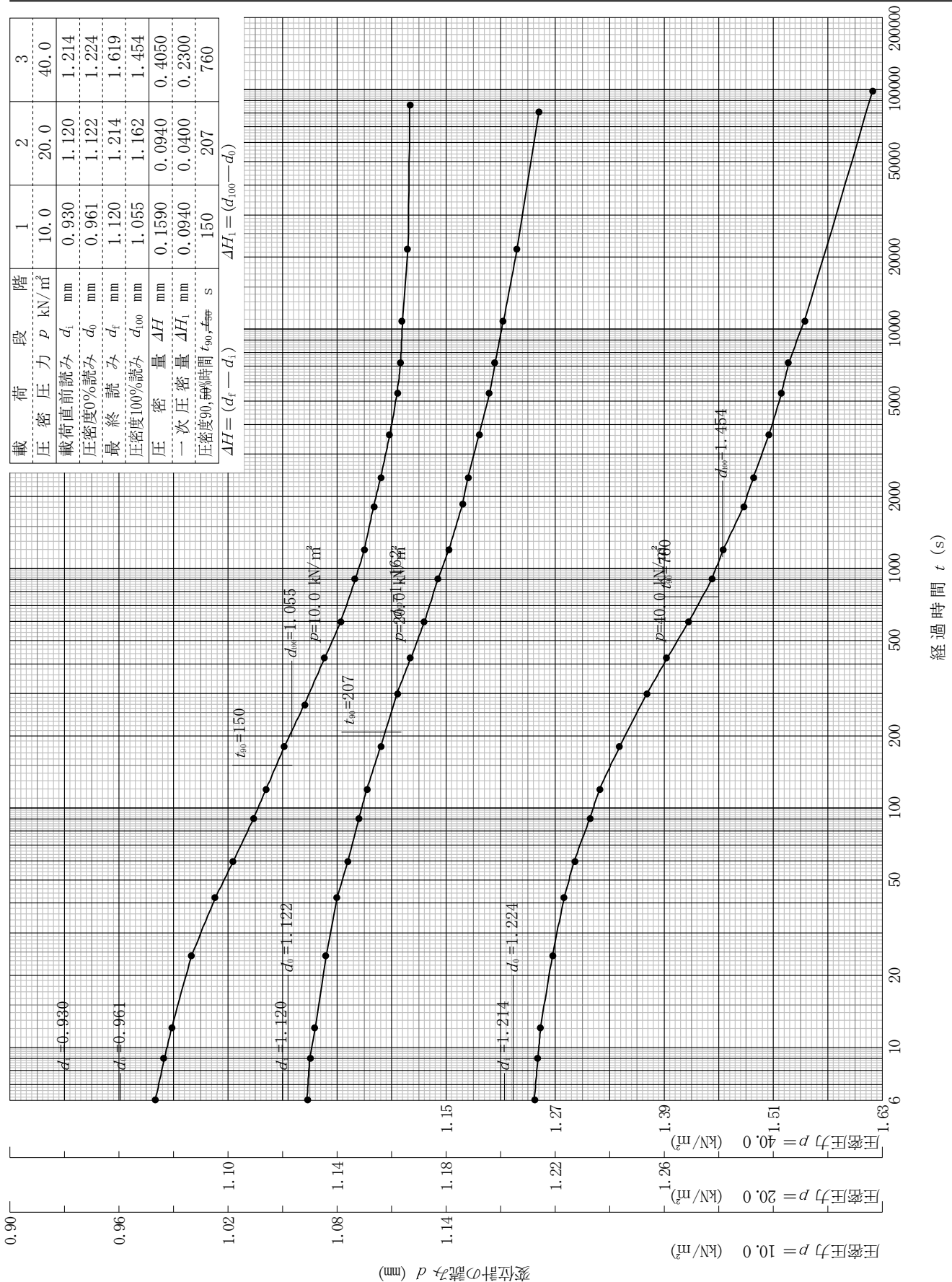
調査件名 SYSTEM21 最高級プロフェッショナル土質調査解析ソフト  
長年の実績で信頼と安定したソフトを実現

試験年月日 2021年 7月 20日

試料番号(深さ) S1-1(3.00m~3.70m) 新JIS入力見本

試験者 田中 誠二

載荷段階	1	2	3
圧密圧力 $p$ (kN/m <sup>2</sup> )	10.0	20.0	40.0
載荷直前読み $d_i$ (mm)	0.930	1.120	1.214
圧密度0%読み $d_0$ (mm)	0.961	1.122	1.224
最終読み $d_f$ (mm)	1.120	1.214	1.619
圧密度100%読み $d_{100}$ (mm)	1.055	1.162	1.454
圧密度量 $\Delta H$ (mm)	0.1590	0.0940	0.4050
一次圧密度量 $\Delta H_1$ (mm)	0.0940	0.0400	0.2300
圧密度90%時間 $t_{90}$ (分)	150	207	760
$\Delta H = (d_f - d_i)$	$\Delta H_1 = (d_{100} - d_0)$		



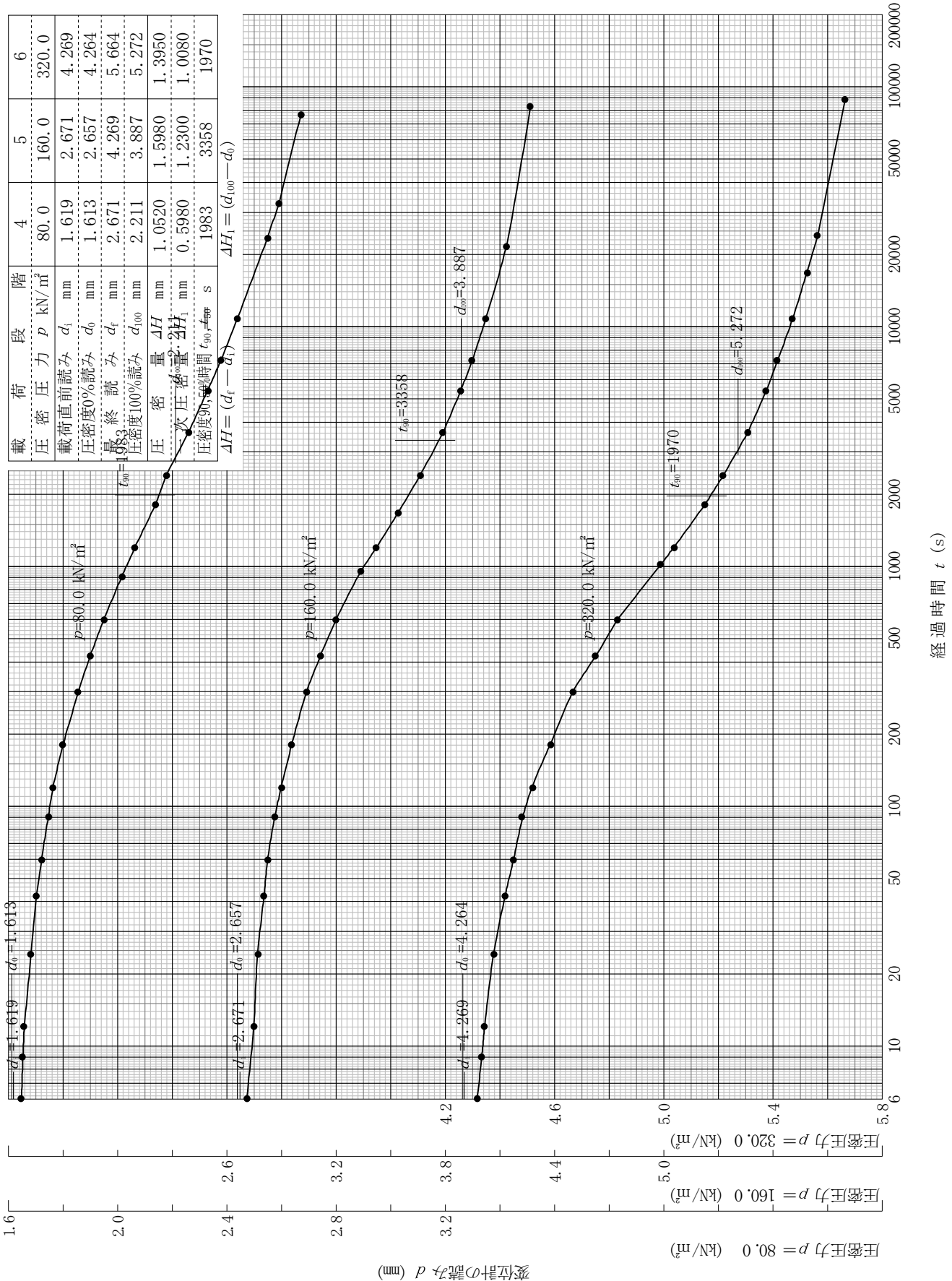
調査件名 SYSTEM21 最高級プロフェッショナル土質調査解析ソフト  
長年の実績で信頼と安定したソフトを実現

試験年月日 2021年 7月 20日

試料番号(深さ) S1-1(3.00m~3.70m) 新JIS入力見本

試験者 田中 誠二

載荷段階	4	5	6
圧密圧力 $p$ (kN/m <sup>2</sup> )	80.0	160.0	320.0
載荷直前読み $d_i$ (mm)	1.619	2.671	4.269
圧密度0%読み $d_0$ (mm)	1.613	2.657	4.264
最終読み $d_f$ (mm)	2.671	4.269	5.664
圧密度100%読み $d_{100}$ (mm)	2.211	3.887	5.272
圧密度 $\Delta H$ (mm)	1.0520	1.5980	1.3950
次圧密度 $\frac{\Delta H_1}{\Delta H}$ (mm)	0.5980	1.2300	1.0080
圧密度90%到達時間 $t_{90}$ (s)	1983	3358	1970
$\Delta H = (d_f - d_i)$	$\Delta H_1 = (d_{100} - d_0)$		



[1kN/m<sup>2</sup> ≒ 0.102kgf/cm<sup>2</sup>]

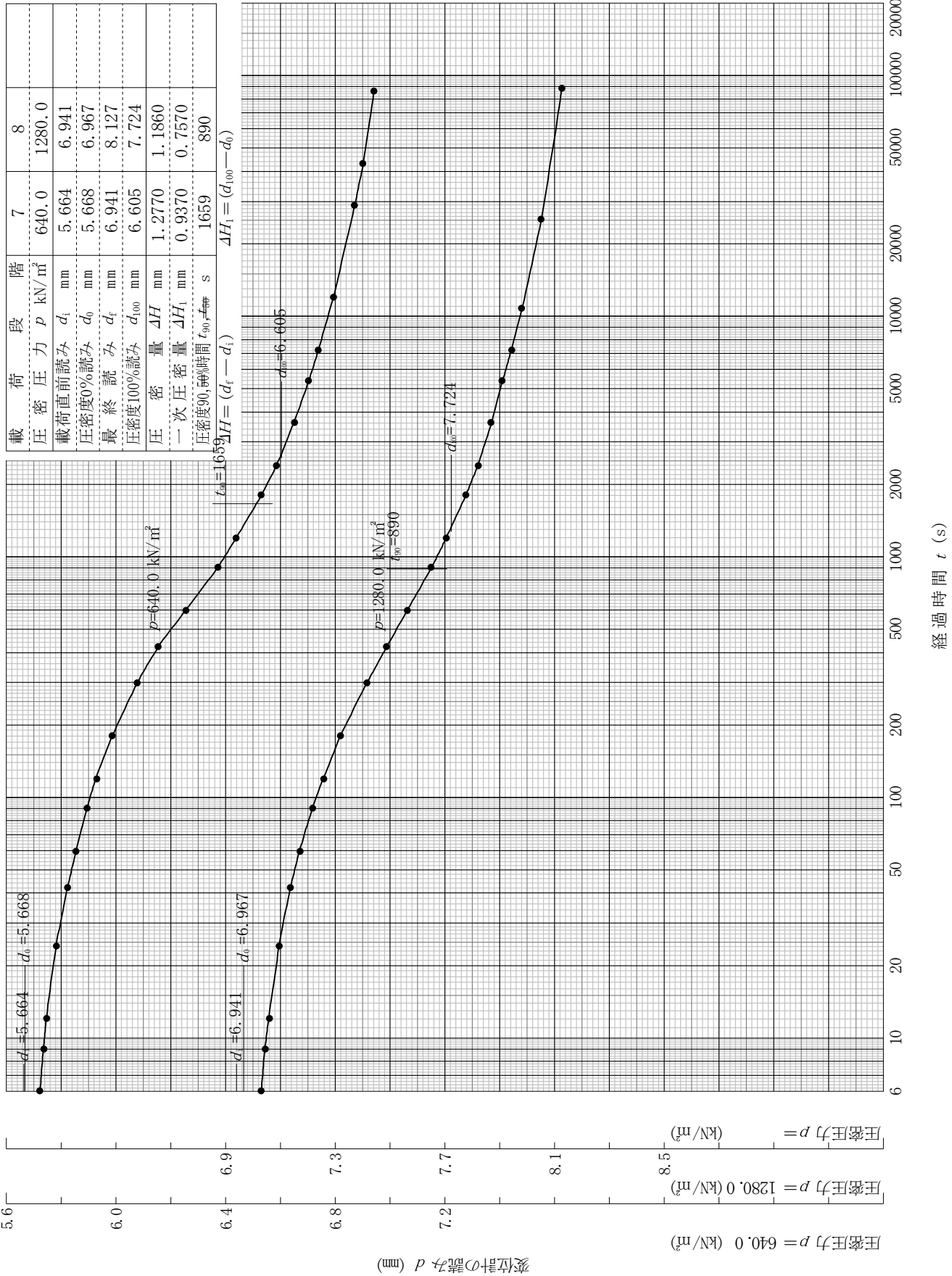
調査件名 SYSTEM21 最高級プロフェッショナル土質調査解析ソフト  
長年の実績で信頼と安定したソフトを実現

試験年月日 2021年 7月 20日

試料番号(深さ) S1-1(3.00m~3.70m) 新JIS入力見本

試験者 田中 誠二

載荷段階	7	8
圧密圧力 $p$ (kN/m <sup>2</sup> )	640.0	1280.0
載荷直前読み $d_i$ (mm)	5.664	6.941
圧密度0%読み $d_0$ (mm)	5.668	6.967
最終読み $d_f$ (mm)	6.941	8.127
圧密度100%読み $d_{100}$ (mm)	6.605	7.724
圧缩量 $\Delta H$ (mm)	1.2770	1.1860
一次圧缩量 $\Delta H_1$ (mm)	0.9370	0.7570
圧密度90%時間 $t_{90}$ (分)	1659	890





調査件名 SYSTEM21 最高級プロフェッショナル土質調査解析ソフト  
長年の実績で信頼と安定したソフトを実現

試験年月日 2021年 7月 20日

試料番号(深さ) S1-1(3.00m~3.70m) 新JIS入力見本

試験者 田中 誠二

試験機 No.	10	供 試 体	直径 $D$ mm	60.0	初 期 状 態	含水比 $w_0$ %	78.4
最低~最高室温 °C	20.0~22.0		断面積 $A$ mm <sup>2</sup>	2827.43		間隙比 $e_0$ , 体積比 $f_0$	2.188
土質名称	砂質粘土質礫		高さ $H_0$ mm	20.0	湿潤密度 $\rho_t$ Mg/m <sup>3</sup>	1.543	
土粒子の密度 $\rho_s$ Mg/m <sup>3</sup>	2.757		質量 $m_0$ g	87.26	飽和度 $S_{r0}$ %	98.9	
液性限界 $w_L$ %	28.7		炉乾燥質量 $m_s$ g	48.91	圧縮指数 $C_c$	0.88	
塑性限界 $w_p$ %	19.4		実質高さ $H_s$ mm	6.2744	圧密降伏応力 $p_c$ kN/m <sup>2</sup>	56.31	

載荷 段階	圧密圧力 $p$ kN/m <sup>2</sup>	圧力増分 $\Delta p$ kN/m <sup>2</sup>	圧密量 $\Delta H$ mm	供試体高さ $H$ mm	平均供試体高さ $\bar{H}$ mm	圧縮ひずみ $\Delta \epsilon = \Delta H / \bar{H}$	体積圧縮係数 $m_v$ m <sup>3</sup> /kN	間隙比 $e = H/H_s - 1$ 体積比 $f = H/H_s$
0	0			20.0				2.188
		10.0	0.1590		19.921	0.008	$8.00 \times 10^{-4}$	
1	10.0			19.841				2.162
		10.0	0.0940		19.794	0.005	$5.00 \times 10^{-4}$	
2	20.0			19.747				2.147
		20.0	0.4050		19.545	0.021	$1.05 \times 10^{-3}$	
3	40.0			19.342				2.083
		40.0	1.0520		18.816	0.056	$1.40 \times 10^{-3}$	
4	80.0			18.290				1.915
		80.0	1.5980		17.491	0.091	$1.14 \times 10^{-3}$	
5	160.0			16.692				1.660
		160.0	1.3950		15.995	0.087	$5.44 \times 10^{-4}$	
6	320.0			15.297				1.438
		320.0	1.2770		14.659	0.087	$2.72 \times 10^{-4}$	
7	640.0			14.020				1.234
		640.0	1.1860		13.427	0.088	$1.38 \times 10^{-4}$	
8	1280.0			12.834				1.045
		-1270.0	-1.4520		13.560	-0.107	$8.43 \times 10^{-5}$	
9	10.0			14.286				1.277
10								

載荷 段階	平均圧密圧力 $\bar{p}$ kN/m <sup>2</sup>	$t_{90}, t_{50}$ s	圧密係数 $c_v$ m <sup>2</sup> /s	透水係数 $k$ m/s	一次圧密量 $\Delta H_1$ mm	一次圧密比 $r = \Delta H_1 / \Delta H$	補正圧密係数 $c'_v = r c_v$ m <sup>2</sup> /s	透水係数 $k'$ m/s
0								
1	5.00	150	$5.61 \times 10^{-7}$	$4.40 \times 10^{-9}$	0.0940	0.591	$3.32 \times 10^{-7}$	$2.60 \times 10^{-9}$
2	14.14	207	$4.01 \times 10^{-7}$	$1.97 \times 10^{-9}$	0.0400	0.426	$1.71 \times 10^{-7}$	$8.38 \times 10^{-10}$
3	28.28	760	$1.07 \times 10^{-7}$	$1.10 \times 10^{-9}$	0.2300	0.568	$6.08 \times 10^{-8}$	$6.23 \times 10^{-10}$
4	56.57	1983	$3.79 \times 10^{-8}$	$5.21 \times 10^{-10}$	0.5980	0.568	$2.15 \times 10^{-8}$	$2.95 \times 10^{-10}$
5	113.14	3358	$1.93 \times 10^{-8}$	$2.16 \times 10^{-10}$	1.2300	0.770	$1.49 \times 10^{-8}$	$1.66 \times 10^{-10}$
6	226.27	1970	$2.75 \times 10^{-8}$	$1.47 \times 10^{-10}$	1.0080	0.723	$1.99 \times 10^{-8}$	$1.06 \times 10^{-10}$
7	452.55	1659	$2.75 \times 10^{-8}$	$7.34 \times 10^{-11}$	0.9370	0.734	$2.02 \times 10^{-8}$	$5.38 \times 10^{-11}$
8	905.10	890	$4.29 \times 10^{-8}$	$5.81 \times 10^{-11}$	0.7570	0.638	$2.74 \times 10^{-8}$	$3.71 \times 10^{-11}$
9	113.14							
10								

特記事項

供試体の高さは、含まれる試料の最大粒径の10倍以上にする。  
供試体の直径は6cm、高さは2cmが標準である。  
試料の乱れは、試験結果に多大な影響を与えるのは周知の通りで  
供試体の形成には熟練を要するとともに、細心の注意も必要である  
形成では、含水比が変化しないように手早く作業をした方がよい。

$$H_s = m_s / (\rho_s A) \times 10^3$$

$$H = H' - \Delta H$$

$$\bar{H} = (H + H') / 2$$

$$m_v = \Delta \epsilon / \Delta p$$

$$S_{r0} = w_0 \rho_s / (e_0 \rho_w)$$

$$\bar{p} = \sqrt{p \cdot p'}$$

$$\sqrt{t} \text{法} : c_v = 0.848 \times (\bar{H}/2)^2 \times 10^{-6} / t_{90}$$

$$\text{曲線定規法} : c_v = 0.197 \times (\bar{H}/2)^2 \times 10^{-6} / t_{50}$$

$$k = c_v m_v \gamma_w$$

$$k' = c'_v m_v \gamma_w$$

ただし、 $\gamma_w = 9.81 \text{ kN/m}^3$

[1kN/m<sup>2</sup> ≒ 0.102kgf/cm<sup>2</sup>]

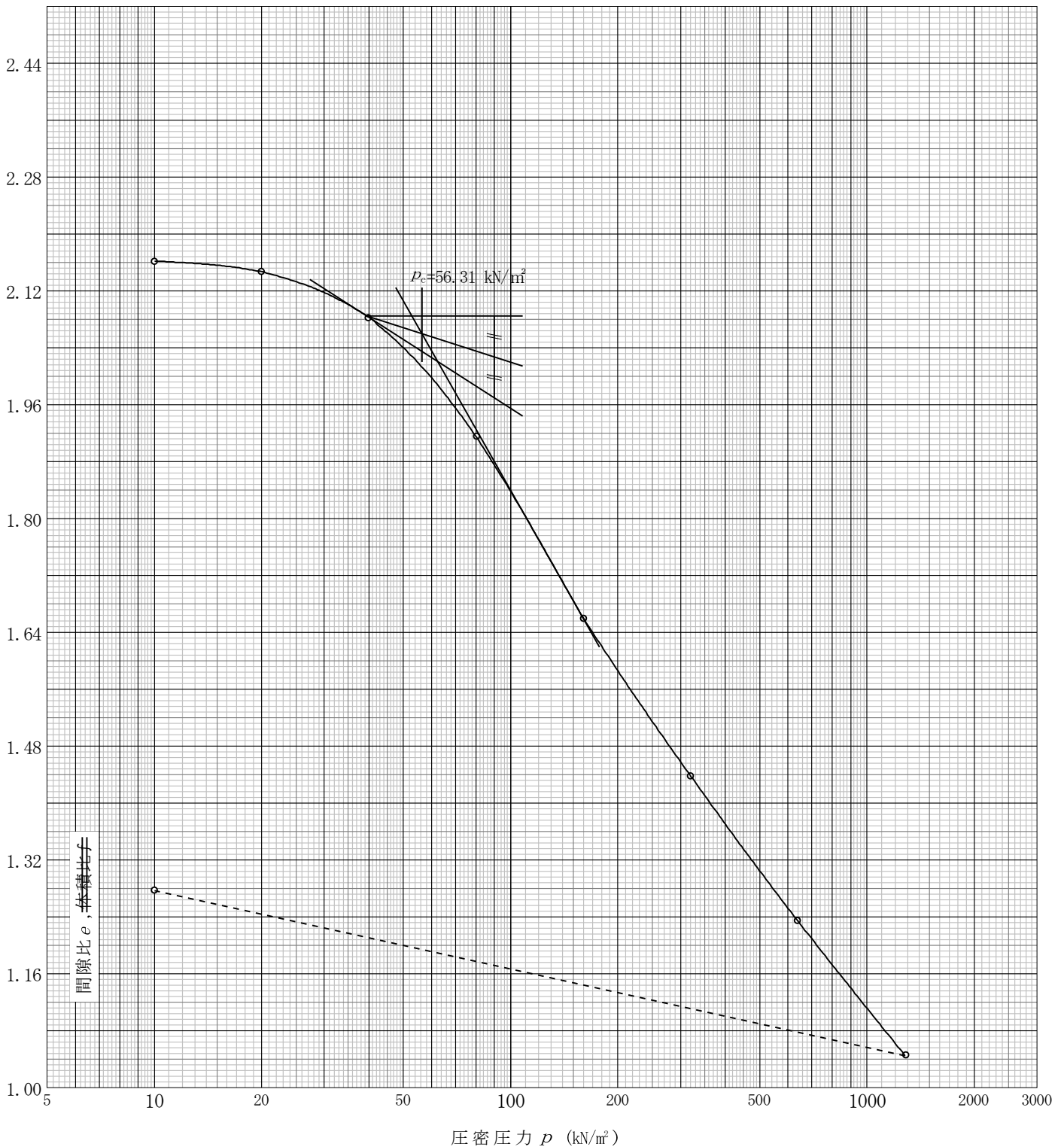
調査件名 SYSTEM21 最高級プロフェッショナル土質調査解析ソフト  
 長年の実績で信頼と安定したソフトを実現

試験年月日 2021年 7月 20日

試料番号(深さ) S1-1(3.00m~3.70m) 新JIS入力見本

試験者 田中 誠二

土粒子の密度 $\rho_s$ Mg/m <sup>3</sup>	液性限界 $w_L$ %	塑性限界 $w_p$ %	初期含水比 $w_0$ %	初期間隙比 $e_0$ <del>初期体積比 <math>f_0</math></del>	圧縮指数 $C_c$	圧密降伏応力 $p_c$ kN/m <sup>2</sup>	ひずみ速度 <sup>1)</sup> 1/s
2.757	28.7	19.4	78.4	2.188	0.88	56.31	



特記事項

多孔板の目詰まりには特に注意が必用である。目詰まりによる透水性の回復には煮沸したり超音波洗浄があるが、交換を回避できない場合もある

1) 定ひずみ速度載荷による圧密試験の時のみ記入する。

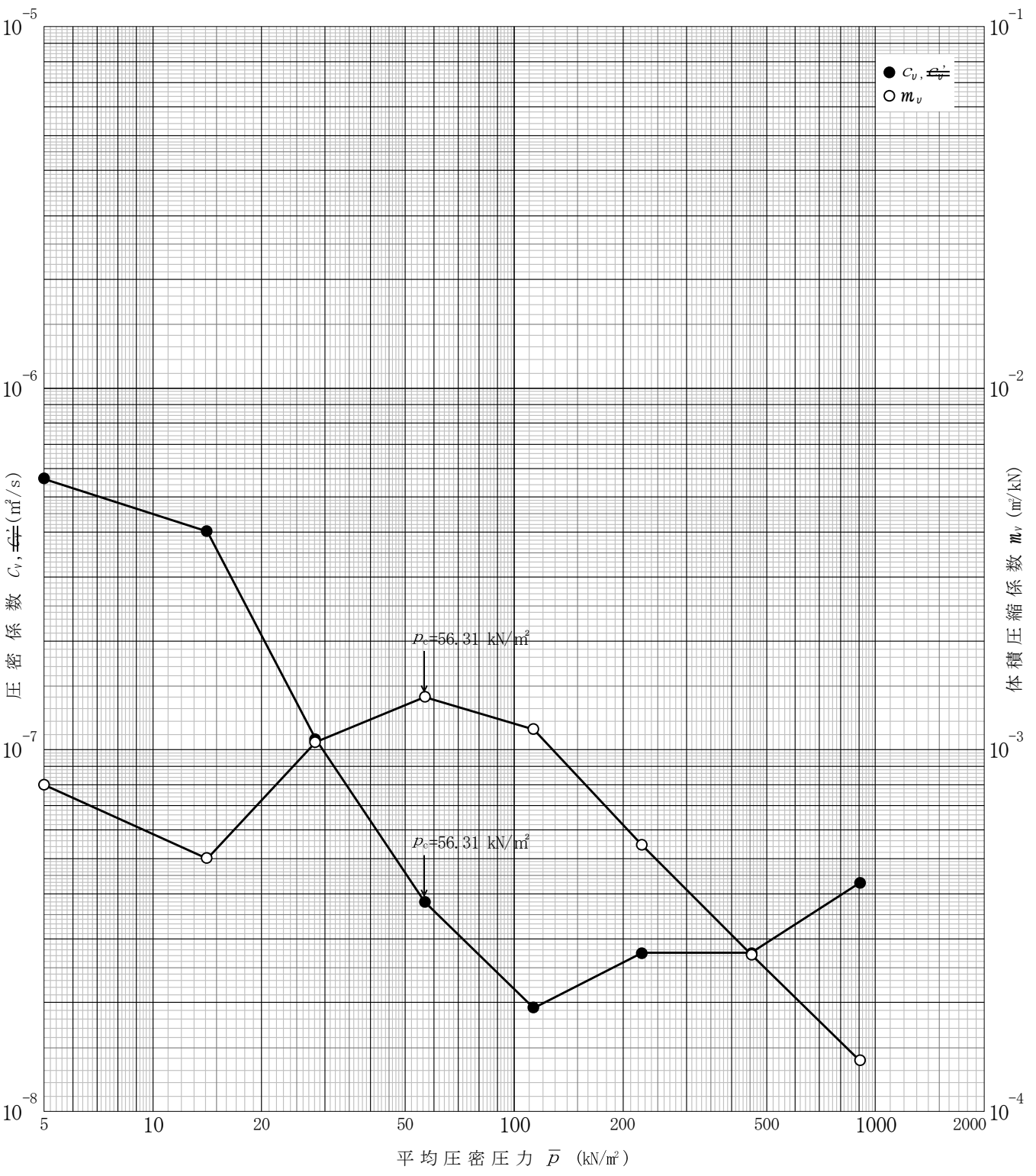
[1kN/m<sup>2</sup> ≒ 0.102kgf/cm<sup>2</sup>]

調査件名 SYSTEM21 最高級プロフェッショナル土質調査解析ソフト  
 長年の実績で信頼と安定したソフトを実現

試験年月日 2021年 7月 20日

試料番号(深さ) S1-1(3.00m~3.70m) 新JIS入力見本

試験者 田中 誠二



特記事項

20~50℃の常温から中温の温度領域では、一般に温度が上がると土の圧縮性が増して圧縮曲線は下方に下がる。  
 透水性の比較的高い試料の場合、測定する経過時間は6秒以前も必要である。  
 装置の免震材で防振対策を施し、エアコンでの室内温度管理徹底も重要である